

ГЭАП
КАФЕДРА №3

ОТЧЕТ
ЗАЩИЩЕН С ОЦЕНКОЙ
ПРЕПОДАВАТЕЛЬ

доц. канд. физ.-мат. наук
фамилия, инициалы, звание

подпись, дата

И.П. Крехтунова
инициалы, фамилия

20/12/17

ОТЧЕТ О ЛАБОРАТОРНОЙ РАБОТЕ
№10. ОПРЕДЕЛЕНИЕ СКОРОСТИ ЗВУКА В ВОЗДУХЕ.
ПО КУРСУ: ОБЩАЯ ФИЗИКА

vk.com/club152685050
vk.com/id446425943

РАБОТУ ВЫПОЛНИЛА
СТУДЕНТКА ГР. 1732

20.12.17
подпись, дата

П.Ю. Яременко
инициалы, фамилия

САНКТ-ПЕТЕРБУРГ 2017.

Лабораторная работа № 10.

Определение скорости звука в воздухе.

Протокол измерений.

Студенты группы № 1732

Преподаватель

Ирменко П.Ю.

Крекунова И.П.

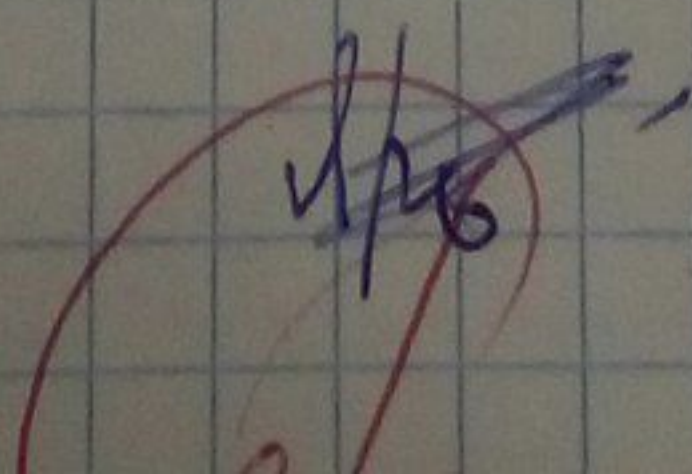
Параметры приборов				
Прибор	Предел измерений	Цена деления	Класс точности	Систематическая погрешность
Звуковой генератор	$99.9 \cdot 10^3 \text{ Гц}$	10 Гц	—	5 Гц
Шнур	77,5 см	1 см	—	0,2 см
Термометр	50°C	1°C	—	$0,5^\circ\text{C}$

Результаты измерений					
$\nu_2 = 1500 \text{ Гц}$					
n	1	2	3	4	5
$l_{\text{пр}}, \text{ см}$	23	47	—	—	—
$l_{\text{обр}}, \text{ см}$	11	35,5	59	—	—
$l_{\text{ср}}, \text{ см}$	17	41,25	59	—	—

$\nu_2 = 2000 \text{ Гц}$					
n	1	2	3	4	5
$l_{\text{пр}}, \text{ см}$	17	35	52	—	—
$l_{\text{обр}}, \text{ см}$	9	26,5	43	60	—
$l_{\text{ср}}, \text{ см}$	13	30,75	47,5	60	—

$T = 19^\circ\text{C}$

Дата 06.12.17.



Подпись студента

Подпись преподавателя

1. Цель работы:

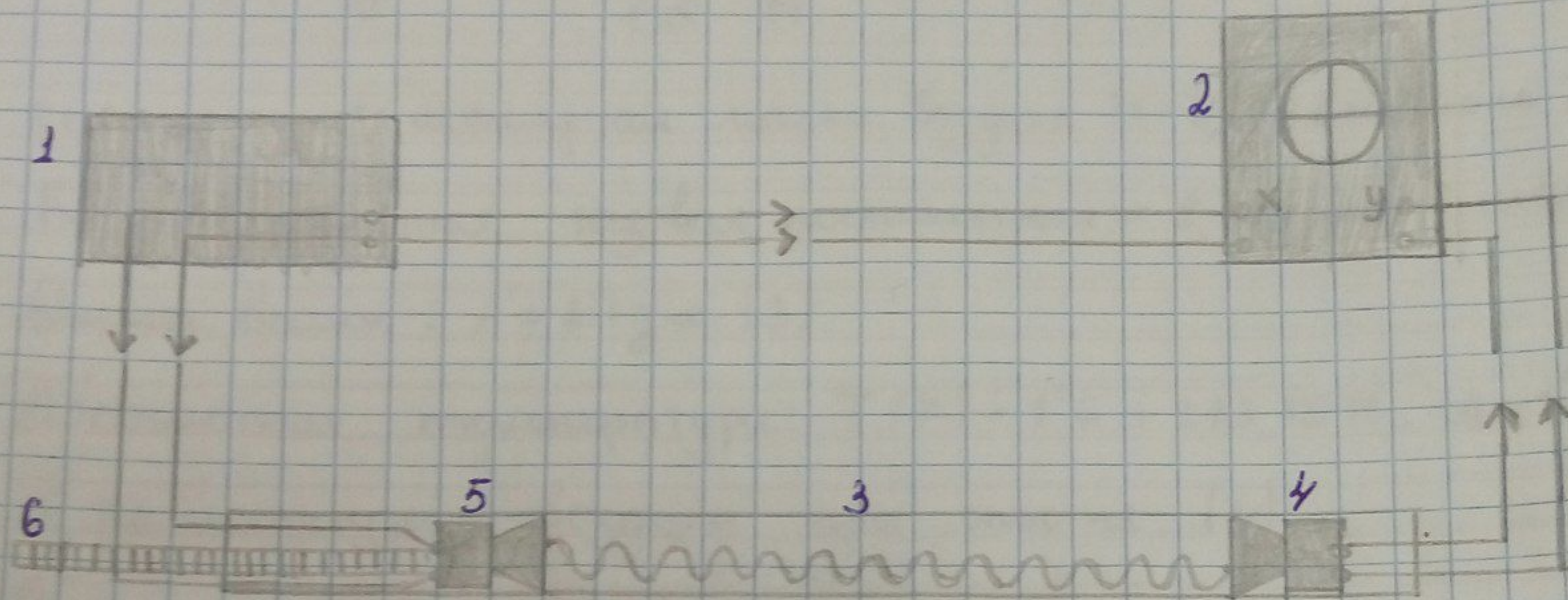
- Определение скорости распространения звуковых волн в воздухе.

2. Описание лабораторной установки.

vk.com/club152685050

vk.com/id446425943

Блок-схема лабораторной установки



Генератор 1, при помощи которого полученные электрические колебания звуковой частоты подаются одновременно на пластину x осциллографа 2 и на пьезотрон 5. Звук от пьезотрона распространяется вдоль нашей трубы 3 и достигает микрофона 4. Сигнал из микрофона с некоторой задержкой по фазе подается на пластину y осциллографа. При изменении расстояния (которое можно измерить линейкой 6), между пьезотроном и микрофоном изменяется разность фаз колебаний, а значит, зависящая от нее форма эллипса.

Параметры приборов

Прибор	Предел измерений	Цена деления	Класс точности	Систематическая погрешность
Звуковой генератор	$99,9 \cdot 10^3$ Гц	10 Гц	—	5 Гц
Линейка	77,5 см	1 см	—	0,2 см
Термометр	50°C	1°C	—	$0,5^\circ\text{C}$

3. Рабочие формулы:

Скорость звука v связана с длиной волны λ и частотой колебаний ν соотношением: $v = \lambda \nu$ (1)

Скорость звука в воздухе можно теоретически рассчитать по формуле: $v = \sqrt{\frac{\gamma \cdot R \cdot T}{M}}$ (2), где T - абсолютная

температура; молярная масса воздуха $M = 0,0291$ кг/моль;

R - универсальная газовая постоянная $= 8,314$ Дж/К·моль.

Длина волны: $\lambda = 2 \cdot d \cdot \alpha$ (3)

Абсолютная температура: $T(K) = t(^{\circ}C) + 273,15$ К, где $t^{\circ}C$ -

- температура воздуха при опыте. (4)

vk.com/club152685050

vk.com/id446425943

Среднее значение l : $l_{cp} = \frac{\sum_{i=1}^n l_i}{n}$ (5)

4. Результаты измерений и вычислений:

$\nu_1 = 1500$ Гц

n	1	2	3	4
$l_{пр}, см$	23	47	—	—
$l_{обр}, см$	11	35,5	59	—
$l_{ср}, см$	17	41,25	59	—
$\lambda, см$	23,6			
$v, м/с$	354			

$t = 19^{\circ}C$

$\nu_2 = 2000$ Гц

n	11	21	31	41
$l_{обр}, см$	9	26,5	43	60
$l_{пр}, см$	17	35	52	—
$l_{ср}, см$	13	30,75	47,5	60
$\lambda, см$	17,1			
$v, м/с$	342,8			

$v_1 = 342,8$

5. Примеры вычислений:

I По формуле (5) $l_{\text{ср}} = \frac{\sum_{i=1}^n l_i}{n}$: $l_{\text{ср.1}} = \frac{11 + 23}{2} = 17 \text{ см.}$

$$l_{\text{ср.2}} = \frac{47 + 35,5}{2} = 41,25 \text{ см.}$$

$$l_{\text{ср.3}} = \frac{0 + 59}{1} = 59 \text{ см.}$$

По графику экспериментальной зависимости l от n :

$$\text{tg } \alpha = \frac{59}{5} = 11,8$$

По формуле (3) $\lambda = 2 \text{tg } \alpha$: $\lambda = 2 \cdot 11,8 = 23,6 \text{ см.}$

По формуле (1) $v = \lambda \nu$: $v = 23,6 \cdot 1500 = 354 \text{ м/с}$

II По формуле (5) $l_{\text{ср}} = \frac{\sum_{i=1}^n l_i}{n}$: $l_{\text{ср.12}} = \frac{9 + 17}{2} = 13 \text{ см}$

$$l_{\text{ср.21}} = \frac{26,5 + 35}{2} = 30,75 \text{ см}$$

$$l_{\text{ср.31}} = \frac{43 + 52}{2} = 47,5 \text{ см}$$

$$l_{\text{ср.41}} = \frac{0 + 60}{1} = 60 \text{ см}$$

По графику экспериментальной зависимости l от n :

$$\text{tg } \alpha = \frac{60}{7} = 8,6$$

По формуле (3) $\lambda = 2 \text{tg } \alpha$: $\lambda = 2 \cdot 8,6 = 17,1 \text{ см}$

По формуле (1) $v = \lambda \nu$: $v = 17,1 \cdot 2000 = 342,8 \text{ м/с}$

По формуле (4) $T = t^{\circ}\text{C} + 273,15 \text{ K}$: $T(\text{K}) = 19 + 273,15 = 292,15 \text{ K}$

По формуле (2) $v_T = \sqrt{\frac{7}{5} \frac{R \Gamma}{M}}$: $v_T = \sqrt{\frac{7 \cdot 8,314 \text{ Дж/моль} \cdot 292,15 \text{ K}}{5 \cdot 0,0291 \text{ кг/моль}}}$

$$= 341,8 \text{ м/с.}$$

vk.com/club152685050

vk.com/id446425943

6. Вычисление погрешностей

6.1. Систематическая погрешность:

$$\theta_L = 0,2 \text{ мм}$$

$$\theta_U = 5 \text{ Гц}; \theta_n = 0$$

6.2. Вывод формулы для систематической погрешности косвенного измерения длины волны:

$$\lambda \approx \lambda(L, n) = \frac{2L}{n} \Rightarrow \theta_\lambda \approx \lambda \left(\frac{\theta_L}{L} + \frac{\theta_n}{n} \right)$$

Расчеты по выведенной формуле:

$$\theta_{\lambda_1} = 23,6 \left(\frac{0,2}{59} + 0 \right) = 0,08$$

$$\theta_{\lambda_{II}} = 17,1 \left(\frac{0,2}{60} + 0 \right) = 0,06$$

6.3. Вывод формулы систематической погрешности для скорости звука:

$$v \approx v(\lambda, \nu) = \lambda \nu \Rightarrow \theta_v = v \left(\frac{\theta_\lambda}{\lambda} + \frac{\theta_\nu}{\nu} \right)$$

Расчеты по выведенной формуле:

$$\theta_{v_1} = 354 \left(\frac{0,08}{23,6} + \frac{5}{1500} \right) = 2,4$$

$$\theta_{v_{II}} = 342,8 \left(\frac{0,06}{17,1} + \frac{5}{2000} \right) = 2,0$$

7. Вывод: в ходе работы я определила скорости распространения звуковых волн в воздухе, $v_{\text{экспер}} \sim v_{\text{теор}}$.

$$\text{м/с } 342,8 \sim 341,8 \text{ м/с}$$

$$\lambda_1 = 23,6 \pm 0,08 \text{ см}$$

$$v = 342,8 \pm 2 \text{ м/с}$$

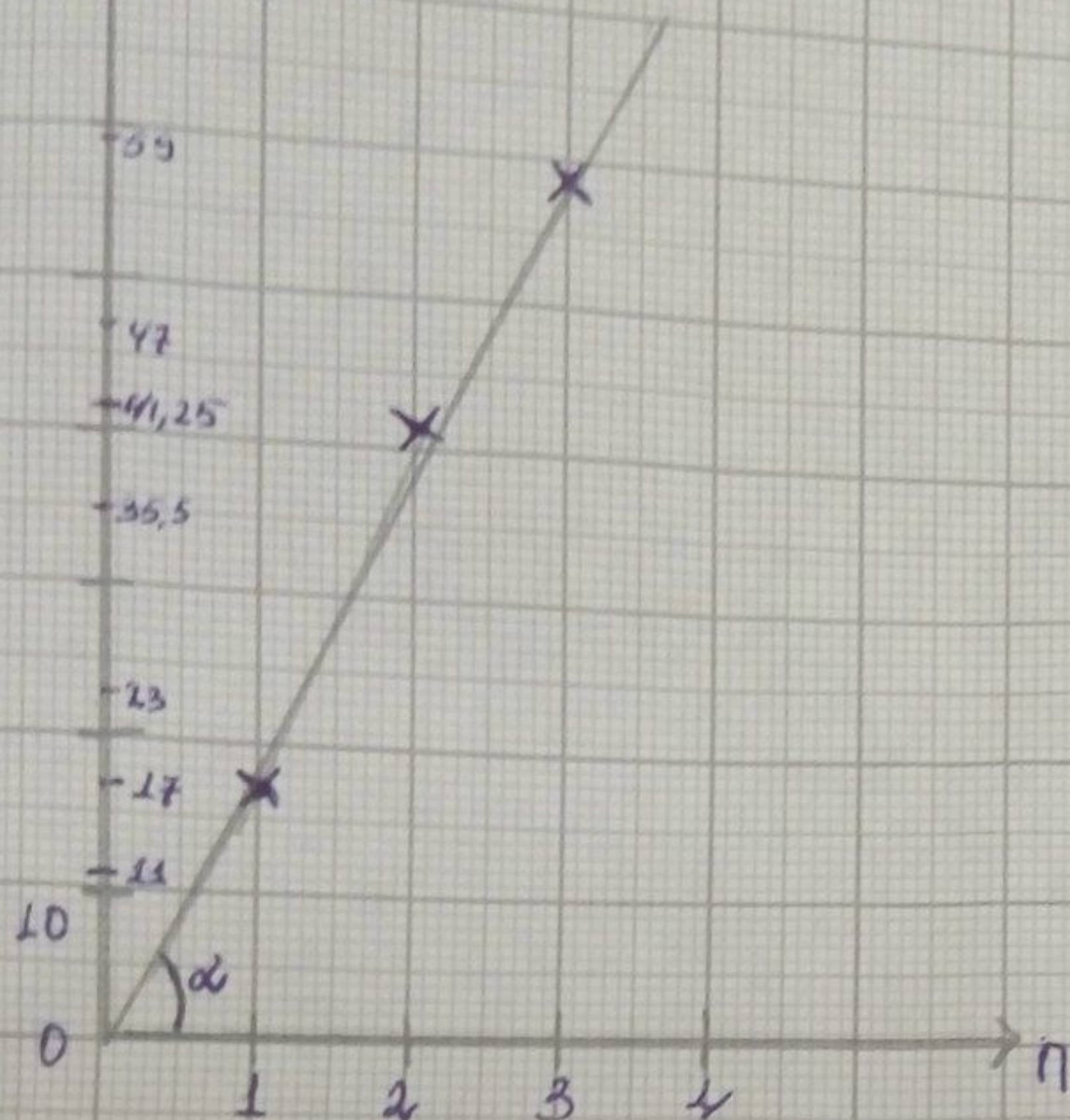
$$\lambda_2 = 17,1 \pm 0,06 \text{ см}$$

Все отклонение в пределах погрешности.

vk.com/club152685050

vk.com/id446425943

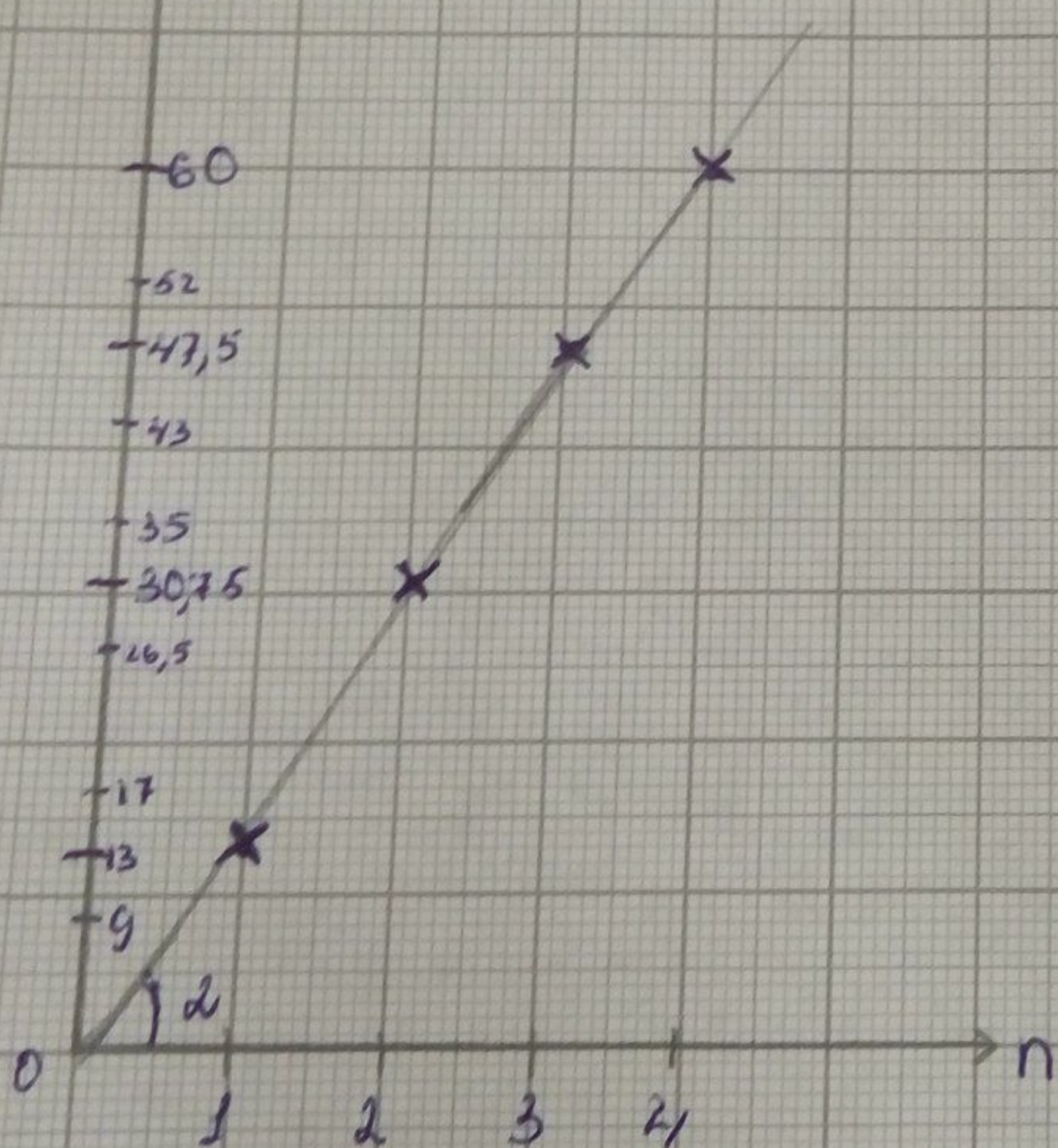
$l_{exp}, \text{см}$



$$\text{tg} \alpha = 11,8$$

Экспериментальная зависимость l от n при $J = 1500 \text{ Гр}$

$l_{exp}, \text{см}$



$$\text{tg} \alpha = 8,6$$

Экспериментальная зависимость l от n при $J = 2000 \text{ Гр}$

- Дифференцированный зачет
- Книги
- ЛР Крутильный маятник
- ЛР Математический и физический маятники
- ЛР Машина Атвуда
- ЛР Маятник Максвелла
- ЛР Определение показателя адиабаты для воздуха
- ЛР Определение скорости звука в воздухе
- ЛР Определение электрического сопротивления
- ЛР Столкновение шаров
- Для протоколов Коваленко И.И.
- Коваленко Иван Иванович
- конспект1
- конспект2
- конспект3
- Лабораторный практикум
- Литвинова Надежда Николаевна
- Физика конспект

СКАЧАТЬ https://yadi.sk/d/RqO8HPxTfh0z_w

СКАЧАТЬ https://archive.org/details/@guap4736_vkclub152685050



vk.com/club152685050
vk.com/id446425943

Лабораторная работа № 10

ОПРЕДЕЛЕНИЕ СКОРОСТИ ЗВУКА В ВОЗДУХЕ

Цель работы: определение скорости распространения звуковых волн в воздухе.

Теоретические сведения

Звуковые волны представляют собой процесс распространения механических колебаний с частотами в диапазоне от 20 Гц до 20 кГц. Скорость звука v связана с длиной волны λ и частотой колебаний ν соотношением:

$$v = \lambda \nu. \quad (10.1)$$

Скорость звука в воздухе можно теоретически рассчитать по формуле

$$v = \sqrt{\frac{7}{5} \cdot \frac{RT}{M}}, \quad (10.2)$$

в которой T – абсолютная температура; $M = 0,0291$ кг/моль – молярная масса воздуха; $R = 8,314$ Дж/К·моль – универсальная газовая постоянная.

Уравнение волны, распространяющейся вдоль оси (ox), имеет вид

$$\xi(x, t) = A \cos(\omega t - kx). \quad (10.3)$$

В этой формуле ξ – смещение точки среды из положения равновесия, находящегося на расстоянии x от источника; ω – циклическая частота колебаний; $k = 2\pi/\lambda$ – волновое число. Фаза колебаний

$$\varphi = \omega t - kx = \frac{2\pi t}{T} - \frac{2\pi x}{\lambda} \quad (10.4)$$

зависит от времени и от положения точки. Разность фаз колебаний двух соседних точек зависит только от расстояния Δx между ними

$$\Delta\varphi = \frac{2\pi\Delta x}{\lambda}. \quad (10.5)$$

Таким образом, длину звуковой волны можно найти, измерив на опыте величины Δx и $\Delta\varphi$. Разность фаз колебаний можно определить методом сложения двух взаимно перпендикулярных колебаний.

Точка, совершающая одновременно два колебания во взаимно перпендикулярных направлениях, движется по замкнутым траекториям, называемым *фигурами Лиссажу*. В случае равенства частот эти фигуры представляют собой эллипсы, форма и ориентация которых зависит от амплитуд и от разности фаз складываемых колебаний.

Рассмотрим два гармонических колебания одинаковой частоты, одно из которых происходит вдоль оси (ox), а другое – вдоль (oy). Для простоты начальную фазу первого колебания положим равной нулю:

$$\begin{aligned}x &= A_1 \cos(\omega t), \\y &= A_2 \cos(\omega t + \Delta\varphi).\end{aligned}\tag{10.6}$$

Уравнение траектории точки, одновременно участвующей в этих двух колебаниях, найдем, исключив время t из уравнений (10.6):

$$\begin{aligned}&\begin{cases} x/A_1 = \cos \omega t, \\ y/A_2 = \cos \omega t \cos \Delta\varphi - \sin \omega t \sin \Delta\varphi; \end{cases} \Rightarrow \\ \Rightarrow & y/A_2 = (x/A_1) \cos \Delta\varphi - \sin \Delta\varphi \sqrt{1 - (x/A_1)^2}; \Rightarrow \\ & (x/A_1)^2 + (y/A_2)^2 - \frac{2xy \cos \Delta\varphi}{A_1 A_2} = \sin^2 \Delta\varphi.\end{aligned}\tag{10.7}$$

Получилось уравнение наклонного эллипса, ориентация и полуоси которого зависят от амплитуд A_1, A_2 и от разности фаз $\Delta\varphi$ (рис. 10.1, а). Если $\Delta\varphi = 2\pi k$, где k – целое число, получим уравнение отрезка прямой, проходящего через 1-й и 3-й квадранты (рис. 10.1, б):

$$y = (A_2/A_1)x.\tag{10.8}$$

Если $\Delta\varphi = (2k+1)\pi$, где k – целое число, получим уравнение отрезка прямой, проходящего через 2-й и 4-й квадранты (рис. 10.1, в):

$$y = -(A_2/A_1)x.\tag{10.9}$$

Если $\Delta\varphi = (k+0,5)\pi$, где k – целое число, получим уравнение эллипса, ориентированного вдоль координатных осей (рис. 10.1, г):

$$\left(\frac{x}{A_1}\right)^2 + \left(\frac{y}{A_2}\right)^2 = 1.\tag{10.10}$$

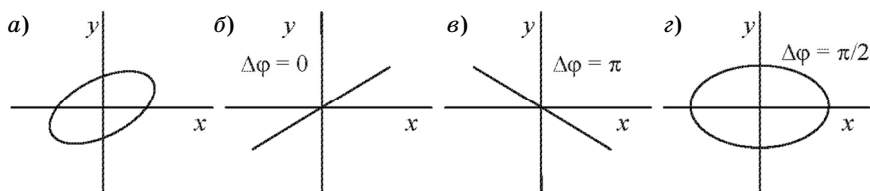


Рис. 10.1. Различные траектории движения точки

Таким образом, по форме наблюдаемого эллипса можно определить разность фаз колебаний $\Delta\varphi$. В дальнейшем особый интерес будут представлять случаи б и в, когда эллипс вырождается в отрезок. Эти случаи удобно наблюдать экспериментально. Существует, что изменение фазы от одного из них к другому составляет $\Delta\varphi = \pi$.

В настоящей работе звуковой сигнал с телефона попадает на микрофон, находящийся на расстоянии ℓ от него. Сигналы с телефона и с микрофона подаются на отклоняющие пластины x и y электронного осциллографа соответственно. Расстояние ℓ можно изменять и измерять во время эксперимента; вместе с ним, согласно формуле (10.5), меняется и разность фаз $\Delta\varphi$ колебаний телефона и микрофона. Поскольку по картинке на экране осциллографа можно зафиксировать лишь разности фаз $\Delta\varphi$ кратные π , при которых эллипс вырождается в отрезок, величина $n = \Delta\varphi / \pi$ на опыте должна принимать только целые значения. Она увеличивается на единицу всякий раз, когда при увеличении расстояния ℓ на экране эллипс превращается отрезок.

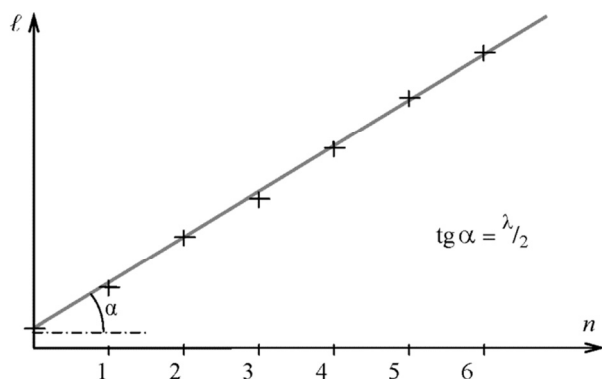


Рис. 10.2. Экспериментальная зависимость ℓ от n

С учетом сказанного формулу (10.5) можно переписать в виде

$$\Delta \ell = \frac{n\lambda}{2}. \quad (10.11)$$

Зависимость $\ell(n)$ наблюдаемая в опыте (рис.10.2), должна представлять собой прямую линию, по угловому коэффициенту ($k = \operatorname{tg} \alpha$) которой можно найти длину волны λ :

$$\lambda = 2 \operatorname{tg} \alpha. \quad (10.12)$$

Подставив полученное таким способом значение длины волны λ и установленную на звуковом генераторе частоту колебаний в формулу (10.1), можно найти скорость звуковых волн.

Лабораторная установка

Блок-схема лабораторной установки приведена на рис. 10.3.

Электрические колебания звуковой частоты, полученные при помощи генератора 1, подаются одновременно на пластины х осциллографа 2 и на телефон 5. Звук от телефона распространяется вдоль полой трубы 3 и достигает микрофона 4. В электрической цепи микрофона возникает электрический сигнал на той же частоте, что и на выходе генератора, но с некоторой задержкой по фазе. Этот сигнал подается на пластины у осциллографа. На экране появляется эллипс, форма которого зависит кроме всего прочего от разности фаз колебаний, подаваемых на разные пластины осциллографа. При изменении расстояния, которое можно измерить линейкой 6, между телефоном и микрофоном изменяется разность фаз колебаний, а следовательно, и форма эллипса.

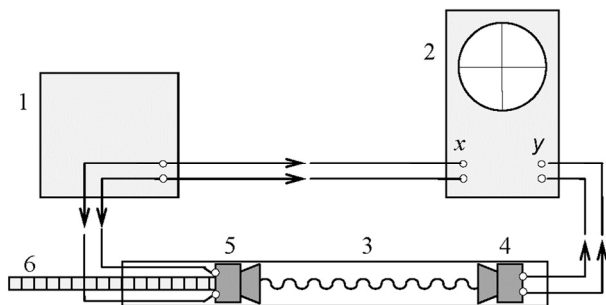


Рис. 10.3. Блок-схема лабораторной установки

Задания и порядок их выполнения

Задание 1. Экспериментальное определение скорости звуковых волн в воздухе.

До начала измерений нужно на 2–5 мин включить для прогрева осциллограф и звуковой генератор.

Задание выполняется в следующем порядке.

Установить заданную частоту колебаний.

Пользуясь ручками настройки осциллографа и изменяя величину выходного напряжения, добиться на экране осциллографа четкого, устойчивого эллипса.

Перемещая телефон по трубе, добиться появления на экране прямой линии. Отметить это положение на шкале как ℓ_1 .

Медленно перемещая телефон в ту же сторону, снова получить на экране прямую линию, но уже наклоненную в другую сторону, т. е. проходящую через другие квадранты. Отметить соответствующее положение телефона как ℓ_2 .

Повторить предыдущий пункт столько раз, сколько это возможно и получить набор положений телефона $\ell_1, \ell_2, \ell_3, \dots$, в которых эллипс вырождается в отрезок прямой. Получить еще один такой же набор данных, перемещая телефон в обратном направлении, и усреднить результаты.

Построить график зависимости положения телефона ℓ_n , от порядкового номера n , как это показано на рис.10.2.

Систематическую погрешность расстояния принять равной $\theta_\ell = 2$ мм. Систематическую погрешность θ_n , связанную с неточностью определения точки вырождения эллипса, не учитывать; $\theta_n = 0$.¹

Графически найти длину звуковой волны λ и ее систематическую погрешность.

По формуле (10.1) найти скорость звуковых волн.

Повторить измерения для звукового сигнала другой частоты.

Задание 2. Теоретический расчет скорости звуковых волн в воздухе.

Вычисления нужно проводить по формуле (10.2), значения констант, необходимые для расчета, указаны в комментариях к формуле. Для определения температуры воздуха t °C нужно вос-

¹ В случае, когда эллипс не полностью вырождается в отрезок, следует считать $\theta_n = 0,1$.

пользоваться термометром. Абсолютную температуру T можно найти по формуле:

$$T(\text{K}) = t\text{ }^{\circ}\text{C} + 273,15\text{K}. \quad (10.13)$$

Контрольные вопросы

1. Что называется звуковой волной?
2. Чем отличаются волновые процессы от колебательных?
3. Что такое длина волны и чему она равна?
4. Запишите уравнение бегущей волны и поясните смысл всех величин, в нее входящих.
5. От чего зависит фаза волны? Чему равна разность фаз колебаний двух точек?
6. Получите уравнения траектории точки, участвующей в двух взаимно перпендикулярных колебаниях одинаковой частоты?
7. В каких случаях траектория вырождается в отрезок?
8. Как определяется длина звуковой волны в данной работе?
9. Как зависит скорость звука от температуры воздуха?